

## การเพิ่มประสิทธิภาพของแผ่นชั้นการหน่วงแบบบังคับเพื่อลดความสั่นสะเทือนในคาน

### Improve of the Constraining Damping Layer Performance to suppress beam vibrations

จักร จันทลักษณา

ศูนย์วิจัยวิศวกรรมคานวณน้ำหนัก ภาควิชาวิศวกรรมเครื่องกล

คณะวิศวกรรมศาสตร์ สถาบันเทคโนโลยีพระจอมเกล้าพระนครเหนือ จุฬาฯ กรุงเทพ 10800

โทร. 02-9132500-24 ต่อ 8323, 8308, E-Mail address: chak@kmitnb.ac.th

Chak Chantalakhana

Department of Mechanical Engineering, Faculty of Engineering, KMITNB

Dusit Bangkok 10800.

Tel. 02-9132500-24 Ext. 8323, 8308, Fax. 02-5870026 Ext. 111

#### บทคัดย่อ

งานวิจัยนี้ได้ศึกษาถึงผลกระทบจากการติดแผ่นบังคับในรูปแบบต่างๆ ที่มีผลต่อการเพิ่มประสิทธิภาพของแผ่นชั้นการหน่วงแบบบังคับ ซึ่งข้อต้องของ การลดระดับความสั่นสะเทือนตัวอย่างแผ่นชั้นการหน่วง จำพวกวัสดุ elastomer และ viscoelastic นั้นคือไม่สามารถทำการลดความสั่นสะเทือนได้อย่างมีประสิทธิภาพ ณ ที่ความถี่ต่ำ โดยในการศึกษานี้ได้พิจารณาคานยืนหอศูนย์น้ำที่มีเป็นโครงสร้าง วัสดุ viscoelastic ถูกใช้เป็นแผ่นชั้นการหน่วงโดยด้านบนของแผ่นชั้นการหน่วงถูกบังคับให้เกิดการเฉือนในเนื้อวัสดุด้วยแผ่นบังคับและสนับสนุน เพื่อเกิดการหน่วงในแนวเฉือนนี้ โดยหลักรูปแบบของการติดแผ่นบังคับถูกศึกษาโดยการเรียนแบบจำลองสมการทางคณิตศาสตร์โดยวิธีไฟโนร์มัลเมท์ ด้วยภาษา FORTRAN ซึ่งจำลองคานที่มีการติดแผ่นชั้นการหน่วงและแผ่นบังคับ โดยรูปแบบการสั่นสะเทือน (mode shape) ถูกใช้เพื่อออกแบบวิธีการติดแผ่นบังคับเพื่อเพิ่มประสิทธิภาพของการหน่วง โดยจาก การคำนวณทางไฟโนร์มัลเมท์ ที่สามารถพิวเตอร์พบว่า ตำแหน่งการติดแผ่นบังคับที่สามารถเพิ่มสัมประสิทธิ์การหน่วงใน โมด การสั่นสะเทือนมากกว่าได้คือตำแหน่งที่เกิด curvature มาก ซึ่งการติดแผ่นชั้นการหน่วงที่ให้ประสิทธิภาพในการลดความสั่นสะเทือนในทั้งสี่ โมดแรกที่สุดคือใช้การแบ่งแผ่นบังคับลดความยาวคานออกเป็น 2 ส่วน และผลการทดสอบได้ถูกดำเนินการเพื่อยืนยันความถูกต้องจากการคำนวณเชิงตัวเลขนี้

#### Abstract

Effects of various constraining layer placements to the performance of the constrained damping layer have been studied. The major disadvantage of vibration suppression with the damping layer, for example, elastomer and viscoelastic materials, is the lower effectiveness at the low frequencies. The aluminum cantilever beam is used as the host structure to be studied. The damping and constraining layers are viscoelastic material and

stainless steel patches, respectively. The constraining layer is functioned to provide shear strain in the damping layer such that high damping can be achieved. The Finite Element models are formulated in the FORTRAN code. The models of various placement configurations of the constraining layers on the damping layer have been constructed. Mode shapes of the host structure are utilized for designing the configurations. The simulated results from the Finite Element models are found that the constraining layer should be placed on the location with high curvature. The most effective configuration, for suppressing beam vibrations of the first four modes, is the two portion configurations of the constraining layer. The experimental results have been compared to validate the simulated results.

#### 1. บทนำ

แผ่นชั้นการหน่วงนั้นถูกใช้กันอย่างแพร่หลายเพื่อลดความสั่นสะเทือนในโครงสร้างที่มีผังบาง โดยปัจจุบันรูปแบบสำเร็จรูปที่ถูกใช้มากคือการติดแผ่นชั้นการหน่วงแบบบังคับ เช่น damping tape ซึ่งทำการใช้งานได้สะดวกและให้ประสิทธิภาพในการลดความสั่นสะเทือนของโครงสร้างผังบางได้ดีโดยที่ไม่ได้เพิ่มน้ำหนักให้โครงสร้างมากนัก อย่างไรก็ตามรูปแบบบริการติดตั้งแผ่นชั้นการหน่วงเพื่อให้ได้ประสิทธิภาพในการลดความสั่นสะเทือนนั้นจะขึ้นอยู่กับคุณลักษณะเฉพาะของโครงสร้างนั้นๆ ด้วย ซึ่งในงานวิจัยนี้ได้ทำการศึกษาถึงปัจจัยที่ใช้ในการพิจารณาเพื่อทำการติดแผ่นชั้นการหน่วงให้ได้ประสิทธิภาพในการลดความสั่นสะเทือนได้มากที่สุด โดยเฉพาะ ณ ความถี่ต่ำของการสั่นสะเทือนที่จะมีระดับความสั่นสะเทือนที่สูงและมักพบว่าการควบคุมความสั่นสะเทือนด้วยแผ่นชั้นการหน่วงมักไม่ให้ประสิทธิภาพที่ดีนัก ณ ความถี่ต่ำ แนะนำ่องด้วยวิธีไฟโนร์มัลเมท์ถูกเขียนขึ้นสำหรับพิจารณาคานยืนที่มีการติดแผ่นชั้นการหน่วงแบบบังคับรูปแบบต่างๆ เพื่อทำนายประสิทธิภาพของแผ่นชั้นการหน่วงตามที่ได้วิเคราะห์ในการ

เพิ่มประสิทธิภาพ และผลการทดลองจะถูกนำมาเปรียบเทียบถึงประสิทธิภาพของแผ่นชั้นการหน่วงที่ได้จากแบบจำลองเพื่อเป็นการยืนยันความถูกต้อง

## 2. การประยุกต์ใช้แผ่นชีนการหน่วง

วิธีการเพิ่มความสามารถในการป้องกันจากความสั่นสะเทือนที่กระทำกับโครงสร้างออกໄไป โดยผ่านการหน่วง (damping) ของโครงสร้างผนังบางเช่น แผ่นเย็บบางและคนเน้น วิธีในการเพิ่มการหน่วงให้กับโครงสร้างในประเภทนี้ที่นิยมกันคือ การติดแผ่นชั้นการหน่วง (damping treatment) ที่ผนังโครงสร้าง วิธีการอย่างง่ายคือการใช้แผ่นชั้นการหน่วงซึ่งเป็นวัสดุจากพลาสติก (elastomer) หรือวัสดุ viscoelastic แปดติดกับผนังโครงสร้าง ซึ่งขณะที่โครงสร้างอยู่ภายใต้ภาระดัดจากความสั่นสะเทือน แผ่นชั้นการหน่วงจะเกิดการยืดและหดตัวตามแนวแกนแผ่นชั้น ซึ่งการหน่วงแบบนี้เป็นแบบ extensional damping ดังแสดงในรูปที่ 1 ข้อจำกัดของชั้นวัสดุการหน่วงที่ใช้ในวิธีนี้ จะทำให้น้ำหนักของโครงสร้างเพิ่มขึ้นมากถึงอีก 30 เปอร์เซ็นต์ [1] เพื่อแก้ปัญหาหรือข้อจำกัดนี้ แผ่นชั้นการหน่วงแบบบังคับ (constrained damping layer) จึงถูกพัฒนา ซึ่งเป็นการเพิ่มแผ่นบังคับซึ่งมีความแข็งตึงสปริงสูง เพื่อบังคับให้แผ่นชั้นการหน่วง ขณะภายใต้ภาระดัดของโครงสร้าง เกิดการเปลี่ยนรูปแบบเดือนขึ้นในเนื้อวัสดุ (shear damping) ดังรูปที่ 2 ซึ่งวิธีการนี้พบว่า [2] ถ้าเทียบกับน้ำหนักที่เท่ากันของชั้นแรกแล้ว จะใช้สัมประสิทธิ์การหน่วงที่มากกว่า อีกทั้งเมื่ออัตราส่วนความหนาของแผ่นชั้นความหน่วงต่อความหนาโครงสร้างเข้าใกล้ค่าศูนย์ อัตราส่วนของสัมประสิทธิ์การหน่วงเฉพาะโมดูลาร์สั่นต่อสัมประสิทธิ์ความหน่วงของแผ่นชั้นการหน่วง จะไม่เข้าใกล้ศูนย์แต่จะเข้าใกล้ค่าคงที่ค่าหนึ่ง ซึ่งพอดีกับรูปเช่นนี้ทำให้เป็นที่มาของวิธีการนี้ในทางปฏิบัติ โดยใช้แผ่นชั้นการหน่วงที่บางมากถึง 0.002 นิ้ว (0.051 มม.) ให้กับรูปแบบปืนแทปการหน่วง (damping tape)



แต่โดยทั่วไปแล้ววิธีการประยุกต์ใช้แผ่นชั้นการหน่วงแบบบังคับ กับโครงสร้างผนังบางจะมีประสิทธิภาพในการลดระดับความสั่น สะเทือนที่ความถี่สูงได้ดี แต่การจัดการกับความถี่ต่ำนั้น ประสิทธิภาพ จะด้อยกว่าเนื่องจากกลไกของแผ่นชั้นการหน่วง จะเคลื่อนที่ตามการดัดแปลงของโครงสร้างได้ด้วยคุณสมบัติวัสดุ viscoelastic ที่อ่อน ณ ความถี่ต่ำ กลปรับระดับความสั่นสะเทือน ณ ความถี่ต่ำจะมีขนาดมากเนื่องจากเป็นคลื่นยาว ซึ่งวิธีการแก้ปัญหาคือการเข้าร่วมของการ

ควบคุมแห่งน้ำหนักการห่วงแบบบังคับ โดยการบังคับแผ่นบังคับแบบกระดุnnด้วยสุดปีโซอิเล็กทริก (piezoelectric) [3] ซึ่งวิธีการนี้สามารถจัดการกับความสั่นสะเทือน ณ ความถี่ต่างของโครงสร้างได้ดี แต่ต้องการการใช้ร่วมกับอุปกรณ์เพิ่มเติม เช่น แม่ปั๊ฟไฝเยอร์ และการจัดประมวลผลผลิติตอผลเป็นตัน ในงานวิจัยขึ้นนี้จะนำเสนอแนวทางในการจัดรูปแบบ (configuration) ของการติดแห่งน้ำหนักการห่วงแบบบังคับ ที่จะมีผลต่อการเพิ่มสัมประสิทธิ์การหน่วง ซึ่งหมายความอย่างแฝงชั้น การห่วงที่เหมาะสมจะให้สัมประสิทธิ์การหน่วงที่ดีที่สุด [4] วิธีการสร้างแบบจำลองของโครงสร้างที่มีแผ่นน้ำหนักการห่วงแบบบังคับ ด้วยวิธีการไฟโนร์มอลิเมเนต์ ถูกใช้เพื่อศึกษาทางการทดลองเชิงดัวเลข (numerical experiments) และทำการเปรียบเทียบกับผลการทดสอบจากชุดทดสอบที่สร้างขึ้น

### 3. แบบจำลองด้วยวิธีไฟไนต์อิลิเมเนชัน

อิลิเมนต์รูปสี่เหลี่ยมกฎกใช้เพื่อจำลองคานนีนที่ใช้เป็นโครงสร้าง  
ทดสอบในงานวิจัยนี้ ซึ่งแต่ละอิลิเมนต์จะมี 3 ชั้น คือ โครงสร้าง แผ่น  
ชั้นการหน่วงและแผ่นบังคับ ตามลำดับ โดยโครงสร้างและแผ่นบังคับ  
นั้นเป็นไปตามถูกปฏิญญาของคาน ส่วนแผ่นชั้นการหน่วงจะถูกกระทำภาย  
ใต้การเฉือนจากเครื่องสร้างและแผ่นบังคับที่เคลื่อนที่สัมพัทธ์กัน โดย  
แบบจำลองด้วยวิธีไฟไนต์อิลิเมนต์นี้ถูกพัฒนาต่อมาจากแบบจำลองที่  
ใช้กับแผ่นเรียนบาง [3] แต่เพิ่มวิธีการที่สามารถพิจารณาแผ่นชั้นการ  
หน่วงแบบบังคับที่ถูกแบ่งเป็นช่วงความยาวเป็นช่วงๆได้ โดยการเพิ่ม  
ระดับความอิสระ ณ จุดรอยต่อของแผ่นบังคับจากเดิมที่แต่ละจุด node  
ของอิลิเมนต์สี่เหลี่ยมจะมี 7 ระดับความอิสระไปเป็น 9 ระดับความ  
อิสระ โดย 2 ระดับความอิสระที่เพิ่มเข้ามาเป็นระยะของจัดในแนวแกน  
ระหว่างของแผ่นบังคับที่อยู่ชิดติดกันหรือดังที่เขียนเป็นระยะของจัดที่แต่ละ  
จุด node ได้เป็น

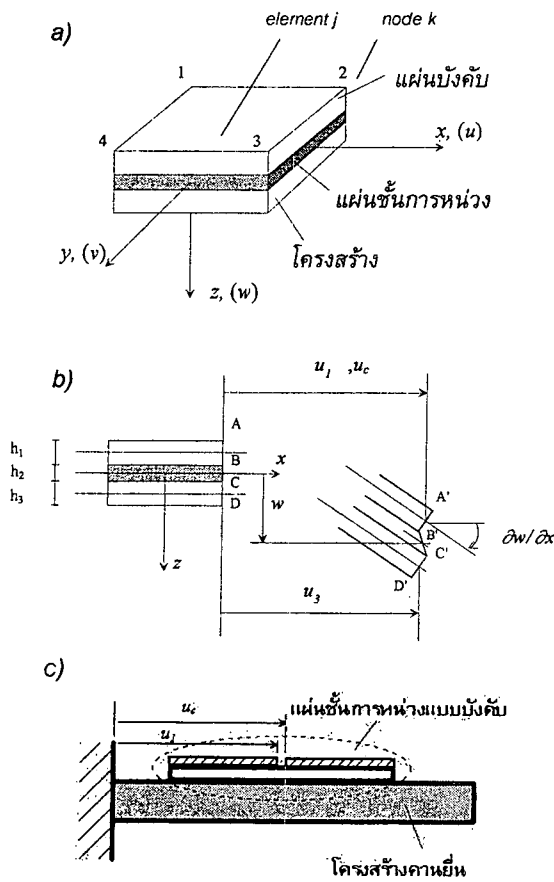
$$\Delta_j = \left\{ d_{ik}, v_{ik}, u_C, v_C, u_{3k}, v_{3k}, w_k, \frac{\partial w}{\partial y}_k, \frac{\partial w}{\partial x}_k \right\}^T$$

(1)

### ແລະໄດ້ສ່ວນກາງກາງເຄົ່າອຸນທຶນ

$$\mathbf{M}\ddot{\Delta}_i + \overline{\mathbf{K}}\Delta_i = \mathbf{F}_i \quad (2)$$

โดยที่แต่ละเทอมของระยะขั้จัดต้องเชิงไบาร์ในรูปที่ 3 ที่ซึ่ง  $v_i$  เป็น  
ระยะขั้จัดแนวแกน  $y$  โดยโคล์ดโปรแกรมภาษา FORTRAN ถูกเขียนขึ้น  
เพื่อใช้ในการสร้างแบบจำลองไฟฟ้าในตู้อิเล็กทรอนิกส์ โดยกลไกการหน่วง  
เกิดจากโมดูลัสการเฉือนของแผ่นชั้นการหน่วงที่เป็นค่าเชิงช้อน  
 $G(1 + j\eta)$  โดย  $G$  เป็นสัมประสิทธิ์การสะ semp พลังงาน ส่วนเทอม  $\eta$   
เป็นค่าสัมประสิทธิ์การหน่วง (loss factor)



รูปที่ 3 a) อิลิเมนต์ส์เหลี่ยม b) kinematics ของแผ่นการหน่วง c) คาน  
ยืนที่มีแผ่นชั้นการหน่วงแบบบังคับติดเป็นช่วงๆ

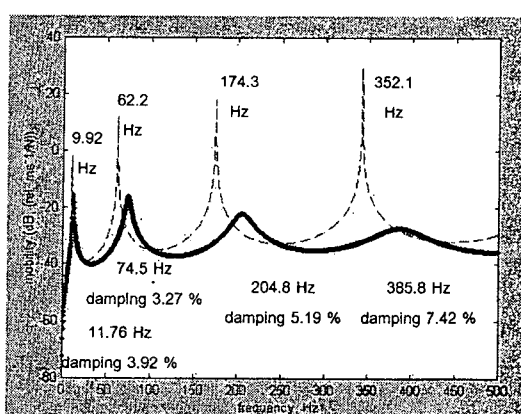
สัมประสิทธิ์ความหน่วงจะขึ้นอยู่กับวุปร่างการสั่นสะเทือน ณ ความถี่ริโโซแนร์ด้วย โดยตำแหน่งที่เหมาะสมที่จะติดแผ่นชั้นการหน่วง คือ ตำแหน่งที่เกิดความเครียด (strain) มาก ซึ่งขึ้นอยู่กับตำแหน่งที่เกิด curvature มากที่สุดนั้นเอง [5] โดยในนั้นตอนแรกนี้จะทำการตรวจสอบวุปร่างความสั่นสะเทือนที่ความถี่ธรรมชาติ (ที่เกิดปรากฏการณ์ริโซแนร์) ของคานที่ไม่มีแผ่นชั้นการหน่วงก่อน จากนั้นจะเปรียบเทียบผลการคำนวณเชิงตัวเลขของคานที่ถูกติดแผ่นชั้นการหน่วงตลอดหัวคาน ว่า สัมประสิทธิ์การหน่วงของแต่ละโมด (modal loss factor) เป็นอย่างไร จากนั้นจึงทำการออกแบบวิธีการแบ่งความยาวชั้นการหน่วงแบบบังคับที่สามารถปรับปรุงสัมประสิทธิ์การหน่วงได้ คานอ่อนนุ่มเนื่องขนาด 25.4 มม. X 450.0 มม. X 3.0 มม. ถูกยึดที่ปลายคานแบบอยู่กับที่แผ่นชั้นการหน่วงที่ใช้มีความหนา 0.051 มม. (3M ISD112) ส่วนแผ่นบังคับเหล็กล้ำหนา 0.3 มม. ซึ่งคุณสมบัติของวัสดุตั้งแสดงในตารางที่ 1 แบบจำลองทางไฟโนต์อิลิเมนต์ของคานยืนถูกแบ่งออกเป็น 9 อิลิเมนต์ตามแนวยาว (ยกเว้นกรณีที่มีการแบ่งแผ่นบังคับขอบออกเป็น 10 ส่วน) รูปที่ 4 แสดงฟังก์ชันการตอบสนองเชิงความถี่ (Frequency Response Function, FRF) ที่ทำการใส่แรงดึงดูด 50 มม. จากจุดยึดและวัดความเร็วการตอบสนองที่ปลายคานของคานยืนเปล่า กับคานยืนที่ติดด้วยแผ่นชั้นการหน่วงแบบบังคับตลอดหัวคาน ซึ่งมีเปอร์เซนต์การหน่วงของแต่ละโมดการสั่นสะเทือนดังแสดงในรูป โดยที่จะเห็นว่า ณ ความถี่ต่ำ มีส่องimotoการสั่นแรก (จากส์โมดการตัดแรกที่ถูกแสดง) จะไม่สามารถใช้ประโยชน์จากแผ่นชั้นการหน่วงแบบบังคับนี้ได้อย่างมีประสิทธิภาพ โดยรูปที่ 5 แสดงวุปร่างการสั่นสะเทือนที่แต่ละความถี่ธรรมชาติซึ่งไม่ต้องหนึ่งและสองเป็นค่าเฉลี่ยซึ่งทำให้การเมื่อนในชั้นการหน่วงเกิดขึ้น้อย ต่างกับที่ค่าว่าถูกวุปร่างการสั่นสะเทือนเป็นค่าเฉลี่ยสั่นทำให้เกิดการดัดของคานเป็นช่วงๆ เป็นผลให้มุมเลื่อนในชั้นการ-

ตารางที่ 1 แสดงคุณสมบัติทางวัสดุของคาน แผ่นชั้นการหน่วง และแผ่นบังคับ

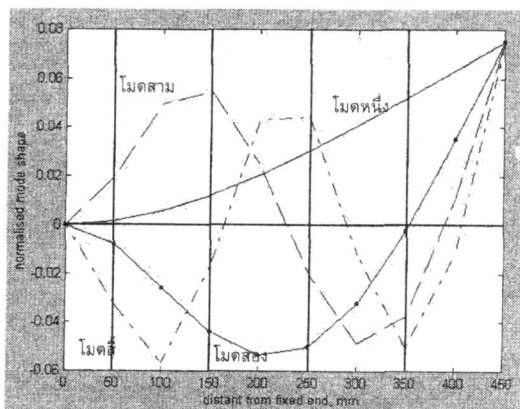
ชนิดวัสดุ	ค่าyoung 모듈ัส (GPa)	ค่าโมดูลัสการเฉือน (GPa)	ค่าสัมประสิทธิ์การหน่วง (loss factor)	ความหนาแน่น (kg/m <sup>3</sup> )
คานอ่อนนุ่มเนื่อง	45	-	-	2657
Viscoelastic	1.361	0.9135	1.06	1000
เหล็กกล้าไร้สนิม	200	-	-	7000

#### 4. รูปแบบการติดตั้งและผลการทดลองเชิงตัวเลข

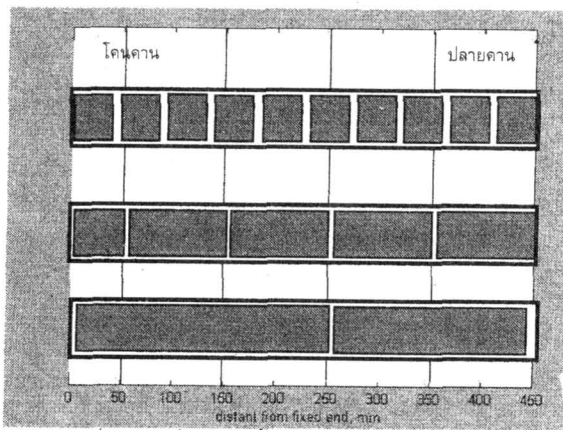
ในหัวข้อนี้จะเป็นการศึกษาจากการพิจารณารูปแบบการติดตั้งแผ่นชั้นการหน่วงแบบบังคับคานยืนในรูปแบบต่างๆ โดยที่ให้ชนิดของวัสดุและความหนาของวัสดุต่างๆ คือที่เหลี่ยม [4] แนะนำว่า ถ้าแผ่นชั้นการหน่วงแบบบังคับที่ยาวเกินไป จะทำให้ความเด่นเฉือนที่เกิดขึ้นใกล้กับทางด้านปลายของแผ่นบังคับจะเกิดเป็นเกือบจะเท่ากับความเด่นแนวแกนของคานที่เป็นโครงสร้างหลัก ทำให้ไม่เกิดการเฉือนในชั้นการหน่วงที่อยู่ไกลจากปลายแผ่นบังคับด้วย เป็นผลให้สัมประสิทธิ์ความหน่วงลดน้อยลง แต่ถ้าความยาวของแผ่นชั้นการหน่วงแบบบังคับที่เหมาะสมในการติดตั้งนั้นจะมีขนาดความยาวแผ่นชั้นการหน่วงแบบบังคับที่เป็นผลการเฉือนในชั้นการหน่วง เพราะฉะนั้นจะมีขนาดความยาวแผ่นชั้นการหน่วงแบบบังคับที่เหมาะสมในการติดตั้งนั้นจะมีผลต่อ



รูปที่ 4 การเปรียบเทียบ FRF ที่ได้จากการคำนวณของคานที่ไม่มี  
(เส้นประ) และมี (เส้นจุด) การติดแผ่นชั้นการหน่วง



รูปที่ 5 รูปร่างการสั่นสะเทือนในสีโมดแรก

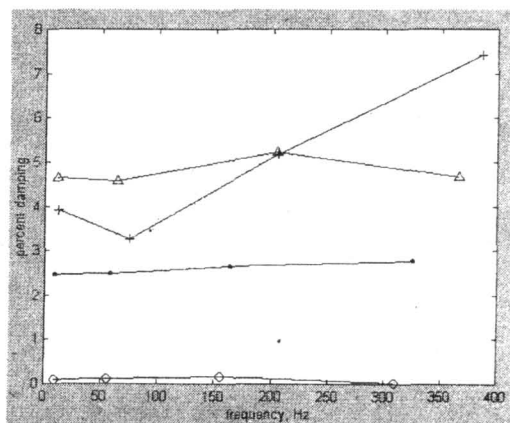
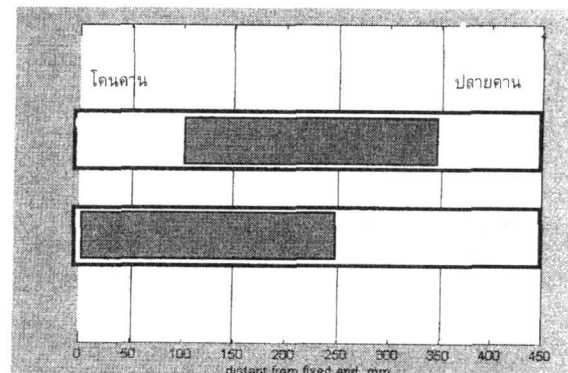


รูปที่ 6 คานที่ติดแผ่นชั้นการหน่วงที่แบ่งส่วนแบ่งบังคับแบบแบ่ง 2 ส่วน, 5 ส่วน และ 10 ส่วน

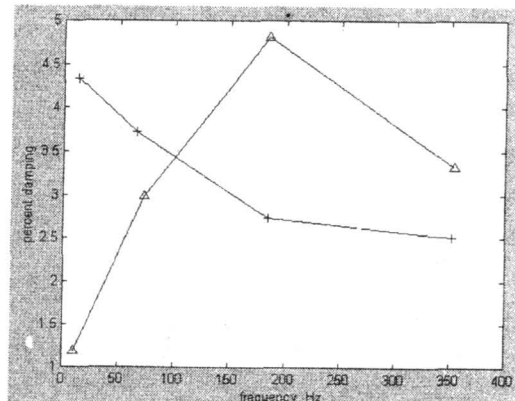
หน่วงเป็นช่วงๆ เช่นกัน เพราะฉะนั้นการที่จะทำให้ชั้นการหน่วงสามารถดูดซับความสั่นสะเทือนของคลื่นイヤวได้ต้องทำการแบ่งและบังคับการหน่วงเป็นช่วงๆ ให้มุ่งเนื่องในแผ่นชั้นการหน่วงไม่ถูกทำให้ลดลงจากคลื่นイヤวที่ดึงด้านการเฉือนภายในให้น้อยลง โดยรูปแบบการศึกษาแรกจะทำการพิจารณาจากห้องสมาร์ปแบบการติดตั้งแผ่นชั้นการหน่วงต่อไปนี้เพื่อเปรียบเทียบกับแบบแผ่นชั้นการหน่วงแบบบังคับที่ติดต่อกันโดยใช้การแบ่งความยาวแผ่นบังคับเป็น 2 ส่วน 5 ส่วน และ 10 ส่วน ดังแสดงในรูปที่ 6 ซึ่งรูปแบบที่แบ่ง 2 ส่วนจะตรงกับ curvature ที่มากของโมดที่หนึ่งของสองสามและด้านปลายคานจะไม่มีการตัดตัวจากโมดเหล่านี้มากนักและสัมประสิทธิ์ความหน่วงของแต่ละโมดของแต่ละรูปแบบการติดตั้งแสดงในรูปที่ 7 ซึ่งจะเห็นว่า แบบแบ่ง 2 ส่วน โมดที่หนึ่งสอง และสาม จะถูกปรับปรุงสัมประสิทธิ์การหน่วงให้ดีขึ้น แต่โมดที่สั่นด้วยแต่ไม่มากนัก รูปแบบการติดโดยแบ่ง 5 ส่วนนั้นพบว่า สัมประสิทธิ์การหน่วงด้อยลงในทุกโมดเนื่องจากแผ่นชั้นการหน่วงแบบบังคับที่สั่นเกินไปทำให้เกิดการเฉือนในชั้นการหน่วง ส่วนรูปแบบการติดแบบแบ่ง 10 ส่วน แทบจะไม่ก่อให้เกิดการหน่วงขึ้นในคานเลย

ในรูปแบบที่สองที่จะทำการศึกษาคือ การติดแบบบังส่วนโดยการใช้ปริมาณแผ่นชั้นการหน่วงความยาวเท่ากันแต่จะติดตำแหน่งต่างกัน ดังแสดงในรูปที่ 8 คือติดแผ่นชั้นการหน่วงใกล้โคนคานที่มี curvature มาก ณ โมดการสั่นสะเทือนที่หนึ่งและสอง กับกรณีติดเยื่อ茅มาตรงกลางคาน โดยผลที่ได้จากการคำนวณดังแสดงในรูปที่ 9 ซึ่งจะเห็นได้ว่าการ

ติดใกล้โคนคานจะให้สัมประสิทธิ์การหน่วงของสองโมดแรกกว่า และผลจากการคำนวณทั้งหมดนี้จะถูกนำไปเปรียบเทียบกับผลที่ได้จากการทดลองปฏิบัติการ

รูปที่ 7 ผลการคำนวณเบอร์เซนต์การหน่วงเมื่อทำการแบ่งและบังคับของสีโมด: + ไม่มีการแบ่ง,  $\Delta$  แบ่ง 2, ● แบ่ง 5 และ ○ แบ่ง 10 ส่วน

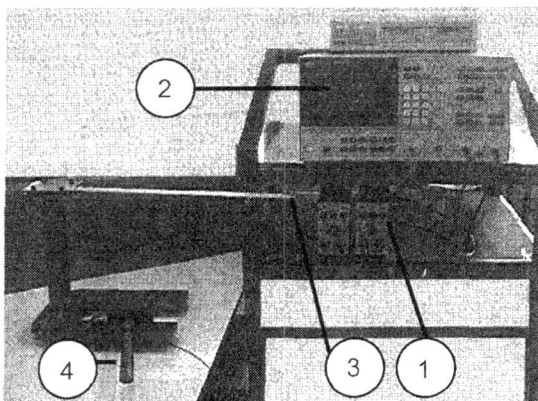
รูปที่ 8 คานที่ติดแผ่นชั้นการหน่วงบางส่วนโดยติดใกล้โคนคานและติดกึ่งกลางคาน

รูปที่ 9 ผลการคำนวณของการหน่วงเมื่อติดแผ่นชั้นการหน่วงบางส่วน  
+ ติดใกล้โคนคาน,  $\Delta$  ติดกึ่งกลางคาน

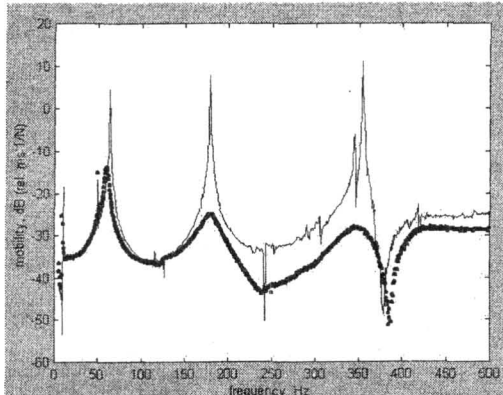
## 5. ชุดทดสอบและผลการทดสอบ

ชุดทดสอบคานยืนที่ใช้เพื่อเปรียบเทียบกับผลการคำนวณเชิงตัวเลขดังแสดงในรูปที่ 10 ซึ่งอุปกรณ์ที่ใช้ทดสอบประกอบด้วย force

gauge, accelerometer ชุด charge amplifier และ dynamic signal analyzer โดยจุดที่ได้แรงคือ ตำแหน่ง 50 มม.จากโคนคานและวัดความเร็วการตอบสนองที่ปลายคาน โดยพิจารณาเปรียบเทียบระหว่างคานเปล่ากับคานยืนที่ติดแผ่นชั้นการหน่วงแบบบังคับแบบแบ่ง 2 ส่วน ซึ่งเป็นรูปแบบที่ใช้ในการหน่วงในทุกๆโมดโดยเฉลี่ยดีที่สุดโดยเปรียบเทียบ FRF จากการทดสอบบัญชีการดังแสดงในรูปที่ 11 ซึ่งจะเห็นว่าผลจากการทดสอบให้ความถี่ซึ่งชาติต่ำกว่าผลการคำนวนด้วยไฟในต่ออิลิเมนต์เนื่องจากจุดยึดอาจไม่ได้ fixed จริงยังมีความเป็นสปริงอยู่ และระดับความหน่วงกรณีมีแผ่นชั้นการหน่วงให้ค่าที่ค่อนข้างใกล้เคียงกันแต่ไม่เท่ากันที่เดียวเนื่องจากในความเป็นจริงสัมประสิทธิ์การหน่วงในแผ่นชั้นการหน่วง ทุก จะประไปตามความถี่และอุณหภูมิด้วย ซึ่งในแบบจำลองได้ใช้ค่า ทุก ที่คงที่ ณ ความถี่ต่ำกว่า 200 Hz ของช่วงความถี่ที่สนใจพิจารณา ตารางที่ 2 สรุปค่าสัมประสิทธิ์ความหน่วงจากผลการทดสอบในแต่ละกรณีที่ทำการคำนวนเชิงตัวเลขเพื่อเปรียบเทียบกัน ซึ่งวิธีการหาอัตราส่วนความหน่วงใช้วิธีอย่างง่าย คือเทคนิค half power [6] ซึ่งหมายความว่าเปอร์เซนต์การหน่วงดังต่อไปนี้  $1\% - 5\%$  แต่ก้อนโล้มิใช่ได้ในช่วงนี้เนื่องจากมีค่าไม่เกินช่วงมากนัก



รูปที่ 10 ชุดคานยืนที่ใช้ทดสอบ 1. charge amplifier, 2. dynamic analyzer, 3. accelerometer และ 4. impact hammer



รูปที่ 11 การเปรียบเทียบผลการทดสอบกรณีไม่ติดแผ่นชั้นการหน่วง และติดแผ่นชั้นการหน่วงแบบแบ่ง 2 ส่วน

## 6. สรุป

แผ่นชั้นการหน่วงแบบบังคับเมื่อถูกใช้กับโครงสร้างผนังบางสามารถที่จะถูกปรับปรุงประสิทธิภาพในการลดความสั่นสะเทือน ณ ความถี่ต่ำได้ โดยทำการพิจารณาจากรูปร่างการสั่นสะเทือนซึ่งสัมพันธ์กับ curvature ของโมดการสั่นสะเทือน โดยจำนวนช่วงความยาวของแผ่นบังคับในแผ่นชั้นการหน่วงที่แบ่งออกเป็นช่วงๆจะต้องอยู่ในช่วงที่เกิดมุมเฉือนในโมดที่ต้องการปรับปรุงมาก และผลจากการทดสอบนั้นสอดคล้องกับการทำนายจากผลการคำนวนด้วยวิธีไฟในต่ออิลิเมนต์

## 7. กิตติกรรมประกาศ

ผู้เขียนขอขอบคุณคณะวิศวกรรมศาสตร์ สถาบันเทคโนโลยีพระจอมเกล้าพระนครเหนือ ที่ให้ทุนสนับสนุนงานวิจัยนี้ ขอขอบคุณ คุณสิกขิเดช ปลื้มวุฒิกุล บริษัท 3M (ประเทศไทย) จำกัด ที่ให้ความอนุเคราะห์แผ่นชั้นการหน่วงที่ใช้ในการทดสอบ

### เอกสารอ้างอิง

- [1] D. I. G. Jones, 1995 "Shock and Vibration Handbook", Chapter 37, Editor: C. M. Harris, McGraw-Hill, New York.
- [2] D. Ross, E. E. Ungar and E. M. Kerwin, Jr., 1959 , "Structural Damping", Sec. 3, The American Society of Mechanical Engineers.
- [3] จักร จันกลักษณา, 2543, "การควบคุมความสั่นสะเทือนของแผ่นเรียบบางโดยประยุกต์ใช้แผ่นชั้นการหน่วงที่ถูกบังคับกระแสุน้ำ" สัมนาวิชาการเครื่อข่ายวิศวกรรมเครื่องกลแห่งประเทศไทย ครั้งที่ 14, โรงแรมโนเวล เซียงใหม่
- [4] R. Plunkett and C. T. Lee, 1970, "Length optimization for constrained viscoelastic layer damping.", The Journal of the Acoustical Society of America, Vol. 48, No. 1 (part 2), pp 150-161.
- [5] B. Azvine, G. R. Tomlinson and R. J. Wynne, 1995, "Use of active constrained layer damping for controlling resonant vibration.", Smart Materials and Structures, Vol. 4, No. 1, pp 1-6.
- [6] D. J. EWINS, 1984, "Modal testing :theory and practice.", Research Studies Press Ltd., Herts.

ตารางที่ 2 แสดงการเปรียบเทียบผลจากการคำนวณเชิงตัวเลขและผลจากการทดสอบของค่าความถี่ธรรมชาติและสัมประสิทธิ์การหน่วง

รูปแบบวิธีคิดชั้นการหน่วง	ความถี่ธรรมชาติ (Hz)		สัมประสิทธิ์การหน่วง (percent damping ratio, $\zeta$ )	
	คำนวณ	ทดลอง	คำนวณ	ทดลอง
1. ไม่ติดโมดที่หนึ่ง	9.92	9.98	-	0.754
	โมดที่สอง	62.2	63.1	0.394
	โมดที่สาม	174.3	179.4	0.139
	โมดที่สี่	352.1	354.1	0.169
2. ติดตลอดทั้งคาน	11.76	11.29	3.92	3.46
	74.5	71.28	3.27	3.96
	204.8	196.3	5.19	6.19
	385.8	374.9	7.42	7.29
3. แบ่งแผ่นบังคับ 2 ส่วน	11.27	9.60	4.65	5.47
	63.5	60.2	4.58	3.78
	204.3	181.8	5.23	6.35
	366.1	341.8	4.66	5.87
4. แบ่งแผ่นบังคับ 5 ส่วน	9.88	9.35	2.46	2.41
	62.5	59.2	2.49	1.61
	175.5	166.1	2.66	2.28
	343.0	338.0	2.78	2.93
5. แบ่งแผ่นบังคับ 10 ส่วน	8.83	9.20	0.0982	1.087
	55.3	58.5	0.1208	1.282
	155.1	164.1	0.1687	1.249
	309.6	325.1	0.0291	1.046
6. ติดบางส่วนไกล์โคนคาน	12.79	11.89	4.33	4.01
	65.6	64.7	3.72	3.40
	185.2	187.5	2.74	2.72
	352.1	363.6	2.51	2.69
7. ติดบางส่วนกึ่งกลางคาน	10.21	10.09	1.184	1.531
	73.2	64.2	2.98	5.29
	184.9	173.1	4.81	3.06
	354.1	356.0	3.32	2.15